

Starkniederschlagshöhen und -spenden gemäß KOSTRA-DWD-2010R

Auswertungszeitraum von 1951 - 2010, Januar - Dezember

Rasterfeld: 54037

Zeile: 54

Spalte: 37

Seite: 1/2

| Dauerstufe D | Wiederkehrzeit T | | | | | | | | | | | | | | | | | | |
|--------------|------------------|------|------------|------|------------|------|------------|------|------------|------|------------|------|------------|------|------------|-------|------------|-------|------------|
| | 1 a | | 2 a | | 3 a | | 5 a | | 10 a | | 20 a | | 30 a | | 50 a | | 100 a | | |
| min | Std | mm | l / (s ha) | mm | l / (s ha) | mm | l / (s ha) | mm | l / (s ha) | mm | l / (s ha) | mm | l / (s ha) | mm | l / (s ha) | mm | l / (s ha) | mm | l / (s ha) |
| 5 | | 5,1 | 170,0 | 6,7 | 223,3 | 7,6 | 253,3 | 8,8 | 293,3 | 10,4 | 346,7 | 12,0 | 400,0 | 12,9 | 430,0 | 14,1 | 470,0 | 15,7 | 523,3 |
| 10 | | 8,1 | 135,0 | 10,4 | 173,3 | 11,7 | 195,0 | 13,3 | 221,7 | 15,6 | 260,0 | 17,9 | 298,3 | 19,2 | 320,0 | 20,9 | 348,3 | 23,1 | 385,0 |
| 15 | | 10,1 | 112,2 | 12,9 | 143,3 | 14,5 | 161,1 | 16,5 | 183,3 | 19,3 | 214,4 | 22,1 | 245,6 | 23,7 | 263,3 | 25,7 | 285,6 | 28,5 | 316,7 |
| 20 | | 11,5 | 95,8 | 14,7 | 122,5 | 16,6 | 138,3 | 19,0 | 158,3 | 22,2 | 185,0 | 25,4 | 211,7 | 27,2 | 226,7 | 29,6 | 246,7 | 32,8 | 273,3 |
| 30 | | 13,4 | 74,4 | 17,4 | 96,7 | 19,6 | 108,9 | 22,5 | 125,0 | 26,4 | 146,7 | 30,4 | 168,9 | 32,7 | 181,7 | 35,5 | 197,2 | 39,5 | 219,4 |
| 45 | | 15,1 | 55,9 | 19,9 | 73,7 | 22,7 | 84,1 | 26,2 | 97,0 | 31,0 | 114,8 | 35,8 | 132,6 | 38,6 | 143,0 | 42,2 | 156,3 | 47,0 | 174,1 |
| 60 | | 16,1 | 44,7 | 21,6 | 60,0 | 24,9 | 69,2 | 29,0 | 80,6 | 34,5 | 95,8 | 40,0 | 111,1 | 43,3 | 120,3 | 47,4 | 131,7 | 52,9 | 146,9 |
| 90 | | 17,8 | 33,0 | 23,6 | 43,7 | 27,0 | 50,0 | 31,3 | 58,0 | 37,1 | 68,7 | 42,9 | 79,4 | 46,3 | 85,7 | 50,6 | 93,7 | 56,4 | 104,4 |
| 120 | 2 | 19,1 | 26,5 | 25,1 | 34,9 | 28,6 | 39,7 | 33,1 | 46,0 | 39,1 | 54,3 | 45,1 | 62,6 | 48,6 | 67,5 | 53,1 | 73,8 | 59,1 | 82,1 |
| 180 | 3 | 21,1 | 19,5 | 27,4 | 25,4 | 31,1 | 28,8 | 35,8 | 33,1 | 42,1 | 39,0 | 48,4 | 44,8 | 52,1 | 48,2 | 56,7 | 52,5 | 63,1 | 58,4 |
| 240 | 4 | 22,6 | 15,7 | 29,2 | 20,3 | 33,0 | 22,9 | 37,8 | 26,3 | 44,4 | 30,8 | 50,9 | 35,3 | 54,7 | 38,0 | 59,5 | 41,3 | 66,1 | 45,9 |
| 360 | 6 | 25,0 | 11,6 | 31,9 | 14,8 | 35,9 | 16,6 | 41,0 | 19,0 | 47,8 | 22,1 | 54,7 | 25,3 | 58,7 | 27,2 | 63,7 | 29,5 | 70,6 | 32,7 |
| 540 | 9 | 27,7 | 8,5 | 34,9 | 10,8 | 39,1 | 12,1 | 44,4 | 13,7 | 51,6 | 15,9 | 58,8 | 18,1 | 63,0 | 19,4 | 68,3 | 21,1 | 75,5 | 23,3 |
| 720 | 12 | 29,7 | 6,9 | 37,1 | 8,6 | 41,5 | 9,6 | 47,0 | 10,9 | 54,4 | 12,6 | 61,9 | 14,3 | 66,3 | 15,3 | 71,7 | 16,6 | 79,2 | 18,3 |
| 1080 | 18 | 32,8 | 5,1 | 40,6 | 6,3 | 45,2 | 7,0 | 51,0 | 7,9 | 58,8 | 9,1 | 66,6 | 10,3 | 71,2 | 11,0 | 77,0 | 11,9 | 84,8 | 13,1 |
| 1440 | 24 | 35,2 | 4,1 | 43,3 | 5,0 | 48,0 | 5,6 | 54,0 | 6,3 | 62,1 | 7,2 | 70,2 | 8,1 | 74,9 | 8,7 | 80,9 | 9,4 | 89,0 | 10,3 |
| 2880 | 48 | 42,2 | 2,4 | 51,4 | 3,0 | 56,7 | 3,3 | 63,4 | 3,7 | 72,6 | 4,2 | 81,7 | 4,7 | 87,0 | 5,0 | 93,7 | 5,4 | 102,9 | 6,0 |
| 4320 | 72 | 47,0 | 1,8 | 56,7 | 2,2 | 62,4 | 2,4 | 69,6 | 2,7 | 79,3 | 3,1 | 89,0 | 3,4 | 94,7 | 3,7 | 101,9 | 3,9 | 111,6 | 4,3 |

Angaben in mm: Bemessungsniederschlagswerte h(n)

Angaben in l / (s ha): Regenspende R(n) mit $R(n) = h(n) \times 1,666667 / D[\text{min}]$

Toleranzbereiche:

+/- 10 % für $1 \text{ a} \leq T \leq 5 \text{ a}$

+/- 15 % für $5 \text{ a} < T \leq 50 \text{ a}$

+/- 20 % für $50 \text{ a} < T \leq 100 \text{ a}$

Datenbasis: KOSTRA-DWD-2010R des Deutschen Wetterdienstes. Die Regenspende wurde auf Basis des Bemessungsniederschlags zur jeweiligen Andauer berechnet.

Für die Richtigkeit und Aktualität der Angaben wird keine Gewähr übernommen. Erstellt 07/2022.

Starkniederschlagshöhen und -spenden gemäß KOSTRA-DWD-2010R

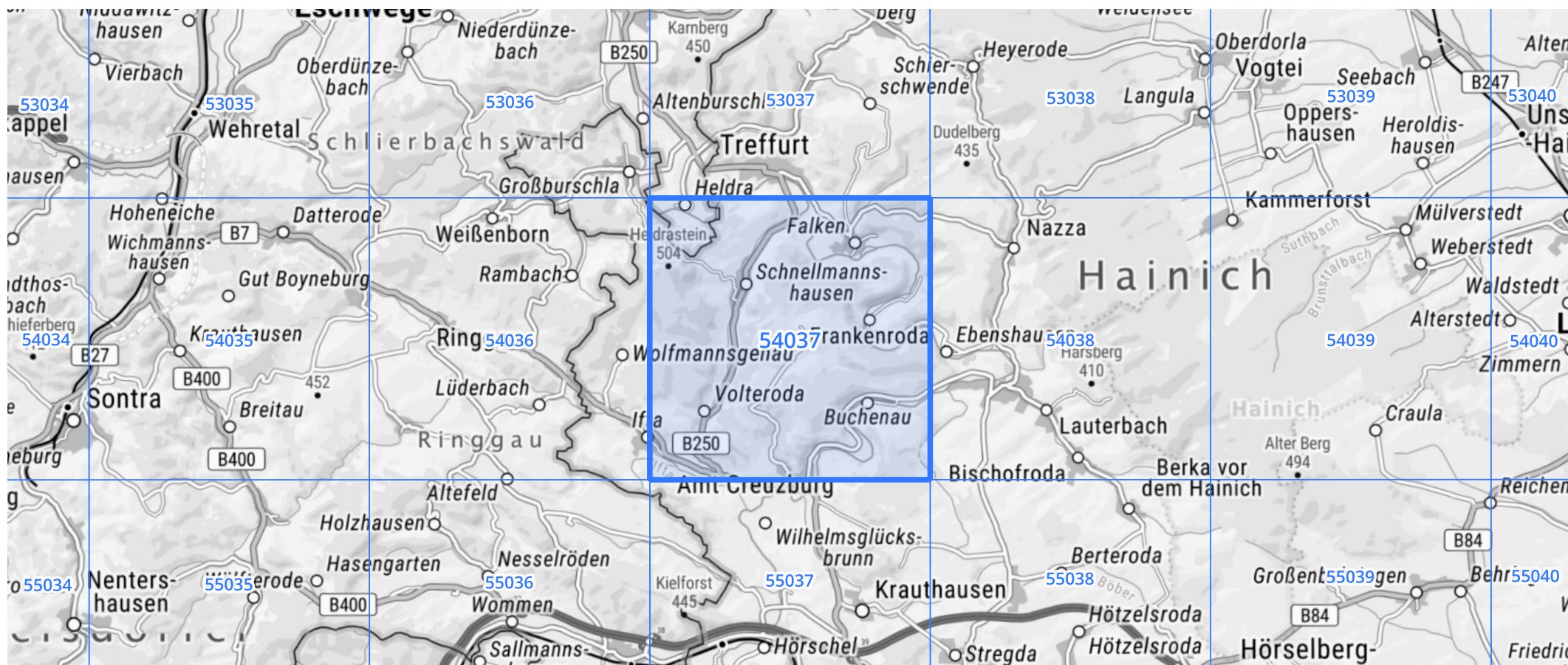
Auswertungszeitraum von 1951 - 2010, Januar - Dezember

Rasterfeld: 54037

Zeile: 54

Spalte: 37

Seite: 2/2



Quelle Rasterdaten: KOSTRA-DWD-2010R des Deutschen Wetterdienstes.

Kartendarstellung: © Bundesamt für Kartographie und Geodäsie (2022), Datenquellen: https://sgx.geodatenzentrum.de/web_public/gdz/datenquellen/Datenquellen_TopPlusOpen.html

Für die Richtigkeit und Aktualität der Angaben wird keine Gewähr übernommen. Erstellt 07/2022.